

## **Ограниченное управление движениями двухмассового маятника**

**Безгласный С.П.\*, Краснов М.В.,\*\* Мухаметзянова А.А.\*\*\***

*Самарский государственный аэрокосмический университет имени академика*

*С.П. Королева, СГАУ, Московское шоссе 34, Самара, 443086, Россия*

*\*e-mail: [bezglasnsp@rambler.ru](mailto:bezglasnsp@rambler.ru)*

*\*\*e-mail: [maxasgard@mail.ru](mailto:maxasgard@mail.ru)*

*\*\*\*e-mail: [Alain.20@mail.ru](mailto:Alain.20@mail.ru)*

### **Аннотация**

Рассматривается задача об ограниченном управлении плоскими движениями двухмассового параметрического маятника. Маятник моделируется двумя одинаковыми невесомыми стержнями с двумя равными точечными массами, двигающимися по окружности вокруг точки закрепления. Управление реализуется путем непрерывного изменения угла между стержнями и является функцией, зависящей от движения центра масс маятника. Предложены законы управления раскачкой и успокоением маятника в окрестности нижнего положения равновесия при предположении об ограничениях на перемещения центра масс маятника. Построены функции Ляпунова, доказывающие асимптотическую устойчивость и неустойчивость нижнего положения маятника в случаях его успокоения и раскачки

соответственно. Теоретические результаты проиллюстрированы графическим представлением численных расчетов.

**Ключевые слова:** двухмассовый маятник, управление, функция Ляпунова, асимптотическая устойчивость.

## Введение

В различных задачах механики плоские движения исследуемых систем и объектов при некоторых упрощениях моделируют математическим маятником. Между тем изучение движений самого плоского маятника обнаруживает много качественных свойств нелинейной системы и вызывает самостоятельный интерес у современных исследователей. Так, например, в работе [1] в задаче о колебаниях маятника переменной длины на вибрирующем основании при больших частотах вибраций и малых амплитудах колебаний длины маятника и точки его подвеса получены бифуркационные диаграммы равновесий, исследованы резонансы и показано присутствие стохастической паутины вблизи равновесий. В [2] при помощи КАМ-теории в близком к резонансному случаю проведен анализ периодических и условно-периодических движений системы в задаче о движении двух одинаковых маятников, связанных линейной упругой пружиной, в окрестности их устойчивого вертикального положения равновесия. В работе [3] с помощью метода предельных функций и систем решена задача о стабилизации произвольных программных движений

математического маятника в переменном поле силы тяжести при наличии неучтенных воздействий с помощью релейного управления. Задачи о построении асимптотически устойчивых заданных маятниковых движений волчка Лагранжа на подвижной платформе и руки робота-манипулятора, моделируемой двустепенным маятником переменной длины, решены в работах [4, 5] соответственно.

Одной из классических задач механики о маятниковых движениях является задача об управлении качелями. Встречаются две основные модели качелей – одномассовый и двухмассовый маятники. Для одномассовой модели в виде плоского математического маятника переменной длины авторами в ряде работ, например [6–8], аналитически и численно исследовались вопросы устойчивости и неустойчивости верхнего и нижнего положений, влияния сил (сухого, вязкого трений и аэродинамического сопротивления), выбора оптимальных режимов раскачки, гашения колебаний и возникновения резонансов. Двухмассовым маятником качели моделируются в работах [9–14]. В [9] методами усреднения и принципа максимума решены задачи управления и оптимизации для случаев малых колебаний и быстрых вращений путем регулируемой по скорости длиной маятника. В работе [10] построены процессы оптимальных раскачки и торможения качелей релейным и «релейно-непрерывным» управлением длиной подвеса подвижной массы для случаев движения без трения и с наличием разных видов трения.

В отличие от большинства указанных выше работ, в которых решались задачи об управлении качелями с помощью скачкообразного (релейного) изменения величины перемещения подвижной массы, невозможного для практической реализации в силу инертности масс, авторами работы [11] был предложен непрерывный закон движения подвижной массы, позволяющий раскачивать и тормозить качели. В [12] решены задачи о диаметральной переориентации и гравитационной стабилизации плоских движений спутника на круговой орбите с помощью подвижной массы по принципу качелей. Но управляющий закон, предложенный в этих работах, предполагает неограниченность расстояния от точки подвеса до подвижной массы в обе стороны, в частности, в [11] авторами приведен численный пример, в котором теоретически считается, что стержень продлен вверх за точку подвеса маятника с предоставленной возможностью движения по нему подвижной массы. На практике реализация таких движений затруднительна. В работах [13, 14] были предложены новые законы управления подвижной массой по принципу качелей, которые предполагают ограниченность относительного перемещения этой массы вдоль стержня.

В данной работе рассматривается модель параметрического маятника, представляющего собой совокупность двух симметрично отклоненных от оси симметрии одинаковых по длине и массе маятников, с возможностью управлять величиной угла между ними. Предложены законы управления этим углом, позволяющие раскачивать и гасить колебания рассматриваемой модели

по принципу качелей. Предполагается ограниченность с двух сторон перемещений центра масс маятника. Ограниченность и непрерывность закона управления позволяют на основе классической теории устойчивости аналитически доказать асимптотическую устойчивость и неустойчивость различных движений маятника путем построения соответствующих функций Ляпунова и предоставляют более удобные возможности для его практической реализации. С помощью численного моделирования движений рассматриваемой системы графически иллюстрируется асимптотическая устойчивость полученных решений.

## 1 Постановка задачи

Рассмотрим параметрический двухмассовый маятник, состоящий из двух равных точечных масс  $m$ , неподвижно закрепленных на концах двух невесомых стержней одинаковой длины  $b$  (Рис.1). Свободные концы стержней шарнирно закреплены в неподвижной точке  $O$ . Угол между стержнями обозначим  $2\psi$ , тогда на пересечении его биссектрисы с отрезком, соединяющим обе точечные массы, будет находиться центр масс маятника. Расстояние от точки  $O$  до центра масс обозначим  $l$ .

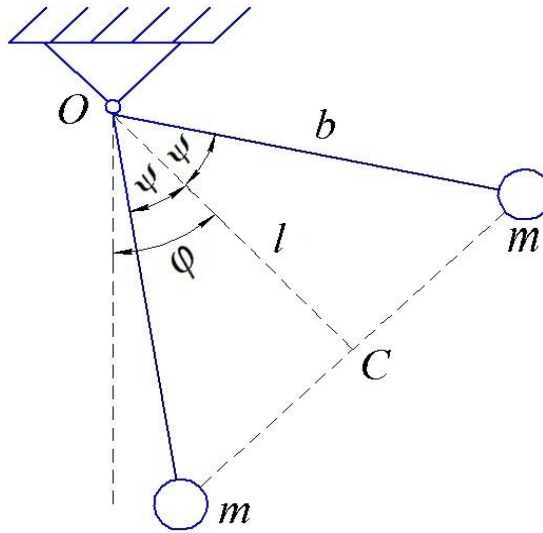


Рис. 1. Двухмассовый маятник

За обобщенную переменную, описывающую движение маятника, примем величину угла  $\varphi$  между биссектрисой и вертикалью. Движения маятника происходят в вертикальной плоскости под действием силы тяжести. Управлением будем считать величину угла  $\psi = \psi(\varphi, \dot{\varphi})$ , являющуюся непрерывной функцией вектора фазового состояния маятника, где точка обозначает производную по времени.

Кинетическая и потенциальная энергии маятника имеют вид:

$$T = mb^2(\dot{\varphi}^2 + \dot{\psi}^2),$$

$$\Pi = -2mgb \cos \varphi \cos \psi.$$

Записав лагранжиан рассматриваемой системы

$$L = T - \Pi = mb^2(\dot{\varphi}^2 + \dot{\psi}^2) + 2mgb \cos \varphi \cos \psi,$$

имеем уравнение движения маятника в виде уравнения Лагранжа второго рода:

$$\ddot{\varphi} + \frac{g}{b} \sin \varphi \cos \psi = 0, \quad (1)$$

где  $g$  – ускорение сил тяготения.

Поставим и решим следующие задачи управления плоскими движениями параметрического маятника – построить непрерывные законы управления величиной угла  $\psi$ , реализующие раскачку и асимптотическое успокоение колебаний соответственно в окрестности нижнего положения равновесия. Решать задачу будем в предположении, что движения центра масс маятника вдоль биссектрисы угла  $2\psi$  ограничены с двух сторон.

## 2 Управление затухающими движениями маятника

Решение задачи об асимптотическом успокоении колебаний двухмассового маятника относительно его нижнего положения равновесия получим на основе второго метода классической теории устойчивости. Выберем управляющий закон в виде:

$$\psi = \begin{cases} \arccos \frac{l_0 + a\dot{\varphi} \sin \varphi}{b}, & \text{при } -c < a\dot{\varphi} \sin \varphi < c; \\ \arccos \frac{l_0 + c \cdot \text{sign}(\sin \varphi) \cdot \text{sign} \dot{\varphi}}{b}, & \text{при } a\dot{\varphi} \sin \varphi \leq -c \cup a\dot{\varphi} \sin \varphi \geq c, \end{cases} \quad (2)$$

где величина  $l_0 = \text{const} > 0$  задает некоторое положение стержней маятника, соответствующее его нижнему положению равновесия, число  $a$  удовлетворяет условию  $0 < a = \text{const} < l_0$ .

Подставив (2) в уравнение (1), получим:

$$\begin{cases} \ddot{\varphi} + \frac{(l_0 + a\dot{\varphi} \sin \varphi)g}{b^2} \sin \varphi = 0, & \text{при } -c < a\dot{\varphi} \sin \varphi < c; \\ \ddot{\varphi} + \frac{g(l_0 + c \cdot \text{sign}(\sin \varphi) \cdot \text{sign} \dot{\varphi})}{b^2} \sin \varphi = 0, & \text{при } a\dot{\varphi} \sin \varphi \leq -c \cup a\dot{\varphi} \sin \varphi \geq c. \end{cases} \quad (3)$$

Для доказательства асимптотической устойчивости нулевого решения системы (3) выберем функцию Ляпунова  $V = V(\varphi, \dot{\varphi})$  в виде:

$$V = \dot{\varphi}^2(1 + k\varphi\dot{\varphi}) + \frac{2gl_0}{b^2}(1 - \cos \varphi) \quad (4)$$

Эта функция  $V(\varphi, \dot{\varphi})$  при любых значениях коэффициента  $k$  в окрестности нижнего положения равновесия  $\varphi = \dot{\varphi} = 0$  является положительно определенной и допускает бесконечно малый высший предел по переменным  $\varphi, \dot{\varphi}$ . Оценим полную производную этой функции по времени в силу уравнения (3):

$$\dot{V} = -\frac{g}{b^2}(l_0 + a\dot{\varphi} \sin \varphi) \sin \varphi (2\dot{\varphi} + 3k\varphi\dot{\varphi}^2) + k\dot{\varphi}^4 + \frac{2gl_0}{b^2} \dot{\varphi} \sin \varphi. \quad (5)$$

Разложив в правой части равенства (5) функцию  $\sin \varphi$  в ряд, выполнив элементарные преобразования и отбросив слагаемые старше четвертой степени по переменным  $\varphi, \dot{\varphi}$ , получим, что в окрестности положения  $\varphi = \dot{\varphi} = 0$  производная (4) с точностью до слагаемых четвертого порядка малости представима выражением:

$$\dot{V} \approx k\dot{\varphi}^4 + \varphi^2 \dot{\varphi}^2 \left( -\frac{3kgl_0 + 2ag}{b^2} \right).$$

При выборе коэффициента  $k$  согласно условиям:

$$-\frac{2a}{3l_0} < k < 0,$$



например, выберем

$$k = -\frac{a}{3l_0},$$

будем иметь оценку производной функции Ляпунова  $\dot{V}$  в виде:

$$\dot{V} \approx -\frac{a}{3l_0} \dot{\varphi}^4 - \frac{ag}{b^2} \dot{\varphi}^2 \varphi^2 \leq -\frac{a}{3l_0} \dot{\varphi}^4.$$

Таким образом, функция  $\dot{V}$  будет отрицательно определенной по скорости  $\dot{\varphi}$  функцией. Множество  $\{\dot{\varphi} = 0\}$  не содержит решений системы (3), кроме  $\varphi = 0$ . На основе теоремы Барбошина-Красовского [15] имеем асимптотическую устойчивость нижнего положения равновесия  $\varphi = \dot{\varphi} = 0$  маятника.

Проведенные численные расчеты подтверждают сделанные выводы об асимптотической устойчивости нижнего положения равновесия  $\varphi = \dot{\varphi} = 0$  маятника и демонстрируют асимптотическое затухание амплитуды колебаний не только в малой окрестности, но и при произвольно больших начальных отклонениях. На рис. 2 изображен график зависимости угла  $\varphi$  от времени, полученный численным интегрированием уравнения движения (3) при следующих значениях параметров системы:  $l_0 = 2\text{ м}$ ,  $a = 1$ ,  $b = 4\text{ м}$ ,  $c = 1$ ,  $g = 9,81\text{ м/с}^2$  и начальных данных:  $\varphi(t_0) = 0\text{ рад}$ ,  $\dot{\varphi}(t_0) = 4\text{ рад/с}$ . Интегрирование проведено на временном промежутке  $t \in [0, 100]\text{ с}$ .

Из рис. 2 видно, что, начав движение с большой начальной скоростью, маятник сначала совершает два оборота против часовой стрелки вокруг точки подвеса, а потом происходит асимптотическое затухание его колебаний в окрестности точки  $\varphi = 4\pi$ ,  $\dot{\varphi} = 0$ , которая физически соответствует положению  $\varphi = \dot{\varphi} = 0$ . Поэтому строго говоря, положение равновесия  $\varphi = \dot{\varphi} = 0$  маятника не является асимптотически устойчивым в целом, тем не менее затухание его колебаний при управлении (2) происходит при любых начальных условиях.

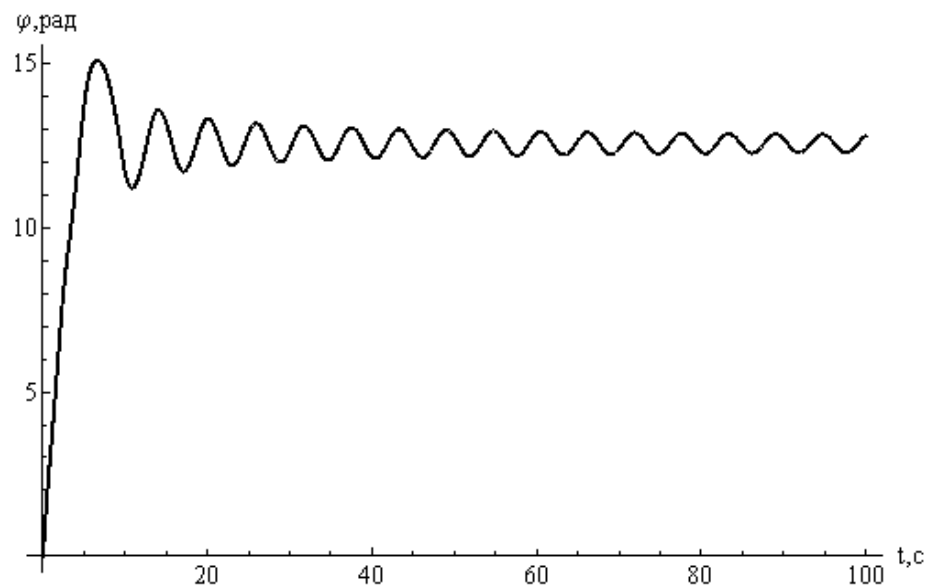


Рис. 2. Зависимость угла  $\varphi$  от времени

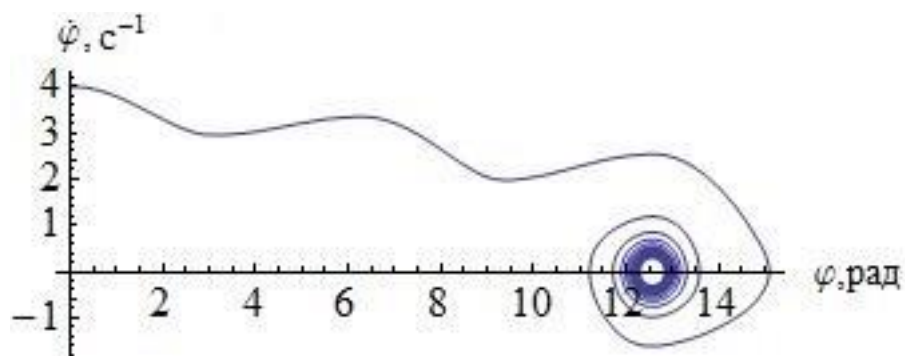


Рис. 3. Фазовый портрет

На рис. 3 изображен фазовый портрет решения уравнения (3) с управлением (2). Фазовая траектория отображает затухание амплитуды и скорости колебаний маятника вокруг нулевого положения равновесия. Графики, представленные на рис. 2 и 3, иллюстрируют очень медленную сходимость решений к нулевому положению равновесия после значений  $\varphi = 0.3 \text{ рад}$ , что позволяет сделать вывод о слабой эффективности предложенных управлений при малых углах отклонений. Тем не менее, численное интегрирование, проведенное на больших интервалах времени, подтверждает асимптотическую сходимость решений и отсутствие ненулевых предельных циклов.

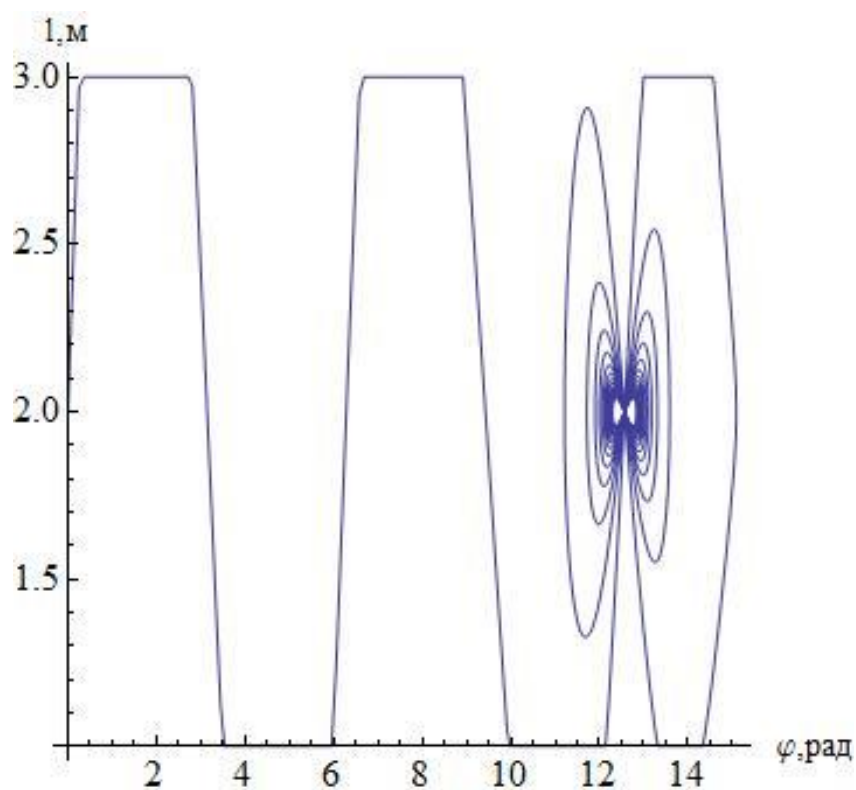


Рис. 4. Зависимость длины подвеса подвижной точки от угла отклонения

Рис. 4 демонстрирует поведение величины расстояния  $l$  от точки подвеса до центра масс маятника в зависимости от угла  $\varphi$ . Из него видно, что перемещения центра масс вдоль биссектрисы угла  $2\psi$  происходят в окрестности значения  $l_0$ , задаваемой константой  $c = 1$ , как при колебательных, так и при вращательных движениях маятника. Точка  $C$  с течением времени асимптотически приближается к положению  $l_0$ .

### 3 Раскачка маятника

Применим аналогичный подход к решению задачи о раскачке маятника из произвольной окрестности нижнего положения равновесия. Заметим, что при нулевых начальных значениях  $\varphi(t_0) = \dot{\varphi}(t_0) = 0$  система (1) является неуправляемой для всех  $t_0 < t < \infty$  при любом законе управления вида  $\psi = \psi(\varphi, \dot{\varphi})$ . Но если выбором этого закона добиться, чтобы положение равновесия  $\varphi = \dot{\varphi} = 0$  системы было неустойчивым по Ляпунову, то действующие на систему силы (внешние возмущения) выведут ее из положения равновесия, и станет возможным эффективный процесс управления – раскачка.

Выбрав закон управления в виде:

$$\psi = \begin{cases} \arccos \frac{l_0 - a\dot{\varphi} \sin \varphi}{b}, & \text{при } -c < a\dot{\varphi} \sin \varphi < c; \\ \arccos \frac{l_0 - c \cdot \text{sign}(\sin \varphi) \cdot \text{sign} \dot{\varphi}}{b}, & \text{при } a\dot{\varphi} \sin \varphi \leq -c \cup a\dot{\varphi} \sin \varphi \geq c. \end{cases} \quad (6)$$

и подставив (6) в уравнение (1), получим:

$$\begin{cases} \ddot{\varphi} + \frac{(l_0 - a \sin \varphi \cdot \dot{\varphi})g}{b^2} \sin \varphi = 0, \text{ при } -c < a\dot{\varphi} \sin \varphi < c; \\ \ddot{\varphi} + \frac{(l_0 - c \cdot \text{sign}(\sin \varphi) \cdot \text{sign} \dot{\varphi})g}{b^2} \sin \varphi = 0, \text{ при } a\dot{\varphi} \sin \varphi \leq -c \cup a\dot{\varphi} \sin \varphi \geq c. \end{cases} \quad (7)$$

Для доказательства неустойчивости нулевого решения системы (7) воспользуемся положительно определенной функцией Ляпунова (4). Ее полная производная по времени в силу уравнений (7) с точностью до слагаемых четвертого порядка малости включительно по переменным  $\varphi$ ,  $\dot{\varphi}$  имеет вид:

$$\dot{V} \approx k\dot{\varphi}^4 + \varphi^2 \dot{\varphi}^2 \left( \frac{2ag - 3kgl_0}{b^2} \right). \quad (8)$$

При выборе коэффициента  $k$  согласно условиям:

$$0 < k < \frac{2a}{3l_0},$$

например, выберем

$$k = \frac{a}{3l_0},$$

будем иметь оценку производной функции Ляпунова  $\dot{V}$  в виде:

$$\dot{V} \approx \frac{a}{3l_0} \dot{\varphi}^4 + \frac{ag}{b^2} \dot{\varphi}^2 \varphi^2.$$

На основании первой теоремы Ляпунова о неустойчивости [15] имеем неустойчивость нижнего положения  $\varphi = \dot{\varphi} = 0$  маятника.

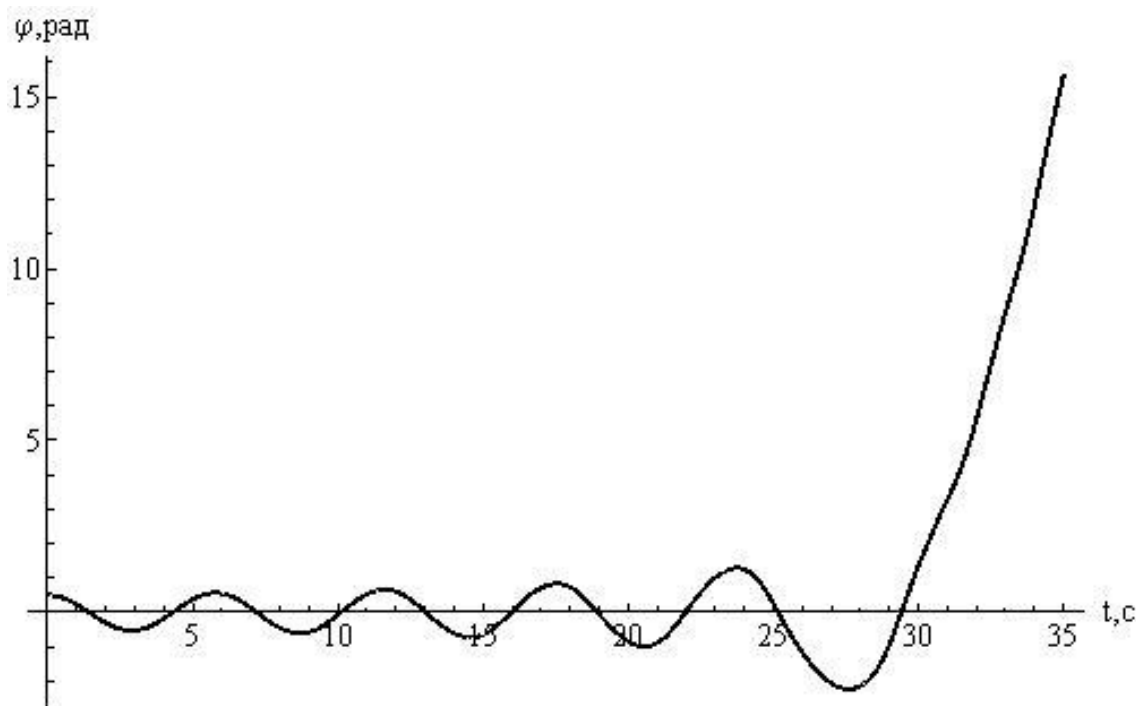


Рис. 5. Зависимость угла  $\varphi$  от времени

На рис. 5 изображен график зависимости угла  $\varphi$  от времени, полученный численным интегрированием уравнения движения (7) при следующих значениях параметров системы:  $l_0 = 2\text{ м}$ ,  $a = 1$ ,  $b = 4\text{ м}$ ,  $c = 1$ ,  $g = 9,81\text{ м/с}^2$  и начальных данных:  $\varphi(t_0) = 0,5\text{ рад}$ ,  $\dot{\varphi}(t_0) = 0\text{ рад/с}$ . Интегрирование проведено на временном промежутке  $t \in [0, 35]\text{ с}$ .

На рис. 6 изображен соответствующий фазовый портрет. Фазовая траектория отображает нарастание с течением времени амплитуды и скорости колебания двухмассового маятника и переход от колебаний к вращательному движению.

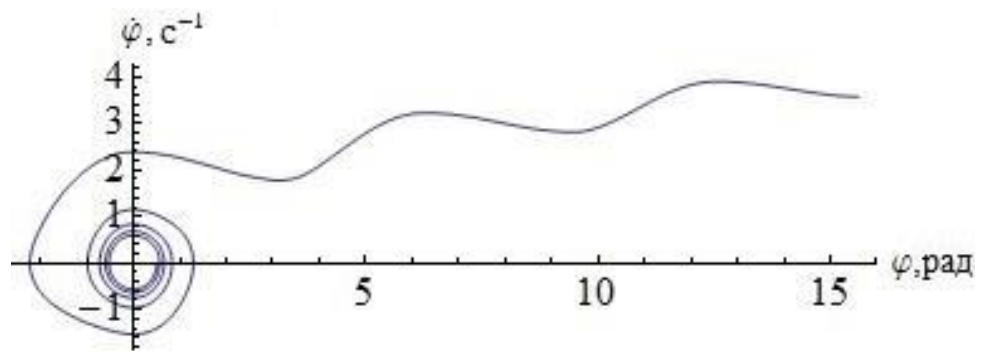


Рис. 6 . Фазовый портрет

Рис. 7 демонстрирует поведение величины расстояния  $l$  от точки подвеса до центра масс маятника в зависимости от угла  $\varphi$ . При нарастании отклонений и скоростей и переходе маятника от колебательных к вращательным движениям при управлении (6) величина  $l$  остается в окрестности значения  $l_0$ , задаваемой константой  $c = 1$ .

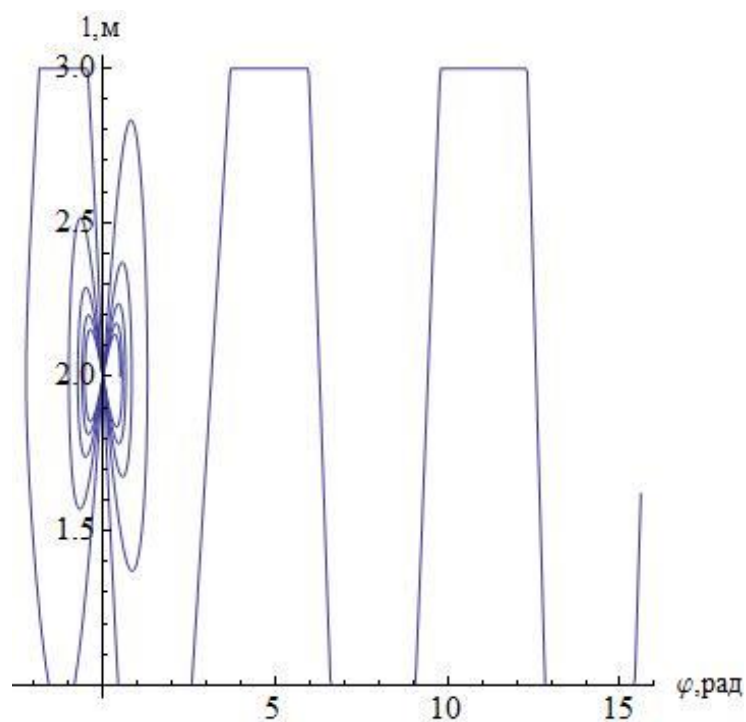


Рис. 7. Зависимость длины подвеса подвижной точки от угла отклонения

### **Заключение**

В работе для задачи параметрического управления плоскими движениями двухмассового маятника предложены законы управления его раскачкой и асимптотическим успокоением путем непрерывного изменения величины угла между стержнями, зависящей от фазового состояния центра масс при ограничениях на его движения. Для предложенных законов управления методом функций Ляпунова доказана асимптотическая устойчивость и неустойчивость соответственно успокоения и раскачки маятника относительно нижнего положения равновесия. Теоретические результаты подтверждены и проиллюстрированы численными расчетами. Полученные результаты могут быть использованы при моделировании управляемых маятниковых движений различных механических систем.

Представленные результаты получены в рамках выполнения государственного задания Минобрнауки России №9.540.2014/К.

### **Библиографический список**

1. Красильников П.С. О нелинейных колебаниях маятника переменной длины на вибрирующем основании // Прикладная математика и механика. 2012. Т.76. № 1. С. 36-51.



2. Маркеев А.П. Нелинейные колебания симпатических маятников // Нелинейная динамика. 2010. Т. 6. № 3. С. 605-622.
3. Андреев А.С. Метод функций Ляпунова в задачах управления // Журнал Средневолжского математического общества. 2010. Т. 12. № 4. С. 64-73.
4. Безгласный С.П., Мысина О.А. Стабилизация программных движений твердого тела на подвижной платформе // Известия Саратовского университета. Сер. Математика. Механика. Информатика. 2008. Т. 8. №. 4. С.44-52.
5. Безгласный С.П., Батина Е.С., Воробьев А.С. Синтез асимптотически устойчивых движений руки робота-манипулятора. Известия Саратовского университета. Сер. Математика. Механика. Информатика. 2013. Т. 13. № 4, ч. 1. С. 36-42.
6. Стрижак Т.Г. Методы исследования динамических систем типа «маятник». - Алма-Ата: Наука, 1981. - 253 с.
7. Сейранян А.П. Качели. Параметрический резонанс // Прикладная математика и механика. 2004. Т.68. № 5. С. 847-856.
8. Акуленко Л.Д., Нестеров С.В. Устойчивость равновесия маятника переменной длины // Прикладная математика и механика. 2009. Т.73. № 6. С. 893-901.
9. Акуленко Л.Д. Параметрическое управление колебаниями и вращениями физического маятника (качели) // Прикладная математика и механика. 1993. Т.57. № 2. С. 82-91.

10. Лавровский Э.К., Формальский А.М. Оптимальное управление раскачиванием качелей // Прикладная математика и механика. 1993. Т. 57. № 2. С. 92-101.

11. Асланов В.С., Безгласный С.П. Устойчивость и неустойчивость управляемых движений двухмассового маятника переменной длины // Известия РАН. Механика твердого тела. 2012. № 3. С. 32-46.

12. Асланов В.С., Безгласный С.П. Гравитационная стабилизация спутника с помощью подвижной массы // Прикладная математика и механика. Прикладная математика и механика. 2012. Т. 76. № 4. С. 565-575.

13. Безгласный С.П., Пиякина Е.Е., Талипова А.А. Ограниченное управление двухмассовым маятником // Автоматизация процессов управления. 2013. Т. 34. № 4. С. 35-41.

14. Безгласный С.П., Батина Е.С., Пиякина Е. Е., Параметрическое управление с ограничением движениями двухмассового маятника // Электронный журнал «Труды МАИ», 2014, № 72: <http://www.mai.ru/science/trudy/published.php?ID=47314> (дата публикации 27.01.2014).

15. Малкин И.Г. Теория устойчивости движения. - М.: Наука, 1966. - 530 с.